

МАГНИТНАЯ СТРУКТУРА ШПИНЕЛЕЙ CuCr_2S_4 , ЛЕГИРОВАННЫХ СУРЬМОЙ

© Т.И.Арбузова, И.Б.Смоляк, Т.Г.Аминов, Е.В.Киреева

Институт физики металлов Уральского отделения

Российской академии наук,
620219 Екатеринбург, Россия

(Поступила в Редакцию 5 мая 1995 г.

В окончательной редакции 4 ноября 1995 г.)

Синтезированы твердые растворы на основе ферромагнитной шпинели CuCr_2S_4 при катионном и анионном замещениях сурьмой, исследованы их магнитные свойства. Наибольшую растворимость имеют твердые растворы при замещении Cr на Sb ($x = 0.5$), а наименьшую — при замещении S на Sb ($x = 0.13$). Концентрационная зависимость температуры Кюри для системы $\text{CuCr}_2\text{S}_{4-x}\text{Sb}_x$ показывает минимум при $x = 0.05$. Магнитные свойства в этой области x объясняются образованием антиферронов. В системах $\text{Cu}_{1-x}\text{Sb}_x\text{Cr}_2\text{S}_4$ и $\text{CuCr}_{2-x}\text{Sb}_x\text{S}_4$ при малых x магнитные свойства описываются простым диамагнитным разбавлением, однако при дальнейшем увеличении x твердые растворы переходят в миктомагнитное состояние. В них наблюдаются размытие фазового перехода, нелинейная зависимость обратной магнитной восприимчивости $\chi^{-1}(T)$, уменьшение парамагнитной температуры Кюри Θ с ростом x . При дальнейшем увеличении x размеры антиферромагнитно взаимодействующих между собой кластеров уменьшаются и $\text{CuCr}_{1.5}\text{Sb}_{0.5}\text{S}_4$ становится антиферромагнетиком с $T_N = 23.8$ К и $\Theta = -180$ К.

Существенным недостатком известных магнитных полупроводников являются низкие температуры Кюри ($T_c \leq 130$ К). Для проблемы повышения температуры Кюри представляют интерес твердые растворы $\text{MCr}_2\text{X}_4-\text{CuCr}_2\text{X}_4$, где M — Cd, Hg, Fe, Zn, Co, а X — S, Se, Te. Первая компонента является ферро- или ферримагнитным полупроводником с $T_c < 200$ К, а вторая — квазиметаллическим ферромагнетиком с $T_c = 365-460$ К. Большинство указанных твердых растворов уже при малой концентрации медной шпинели имеет квазиметаллическую проводимость p -типа, характерную для CuCr_2X_4 , без существенного повышения T_c . В [1] показано, что шпинель $\text{Fe}_{0.5}\text{Cu}_{0.5}\text{Cr}_2\text{S}_4$ стехиометрического состава является ферримагнитным полупроводником n -типа с $T_c = 343$ К.

В медной шпинели широкая валентная зона образована внешними 3p-электронами серы. Узкая t_{2g} -зона ионов Cr^{3+} находится вблизи потолка валентной зоны. Она или полностью пустая и лежит выше уровня Ферми (модель Гудинафа), или наполовину заполнена (модель Лотгеринга) [2]. Занятые d^{10} -состояния одновалентных ионов меди расположены значительно ниже потолка валентной зоны. Металлическая проводимость p -типа обусловлена дырками в широкой валентной зоне.

Легирование шпинели CuCr_2S_4 может привести к уменьшению проводимости. В случае заполнения узких уровней A^{2+} -ионов t_{2g} -состояний ионов Cr^{3+} и валентной зоны соединение может стать полупроводником ферромагнетиком при сохранении достаточно высокой T_c за счет 90° катион-анион-катионного сверхобмена. Одним из «удобных» элементов для легирования CuCr_2S_4 является сурьма, так как она может быть как электроотрицательным, так и электроположительным ионом. В данной работе изучались возможность синтеза твердых растворов на основе CuCr_2S_4 при вхождении сурьмы в различные подрешетки, границы области гомогенности и влияние Sb на магнитные свойства твердых растворов.

1. Синтез образцов и область растворимости

Методом твердофазного синтеза были получены три серии образцов, в которых Sb замещает Cu , Cr и S соответственно. Исходными веществами для твердых растворов служили порошкообразные медь и хром, сера марки ОСЧ 16-5 и сурьма марки Су-000. Кварцевые ампулы со смесью компонентов в соотношениях, отвечающих необходимым составам, откачивали до остаточного давления 10^{-2} Па, запаивали и помещали в вертикальный блок из жаропрочной стали (для стабилизации температуры по всему объему ампулы) однозонной печи сопротивления.

Для ряда $\text{CuCr}_{2-x}\text{Sb}_x\text{S}_4$ были синтезированы составы с $x = 0, 0.02, 0.05, 0.07, 0.10, 0.15, 0.20, 0.30, 0.40, 0.45, 0.50, 0.55, 0.60$. Ампулы со смесью компонентов в течение 2 суток нагревали до $T = 600^\circ\text{C}$. При этой температуре ампулы выдерживали 22 дня. Для получения гомогенных соединений образцы перетирались и повторно отжигались при $T = 610^\circ\text{C}$ в течение 9 суток.

Синтез твердых растворов $\text{Cu}_{1-x}\text{Sb}_x\text{Cr}_2\text{S}_4$ в предположении, что сурьма замещает медь, проводили для составов с $x = 0.020, 0.038, 0.057, 0.074, 0.091, 0.130, 0.167, 0.231, 0.286, 0.333, 0.375$. Ампулы с образцами ступенчато нагревали до температуры 640°C в течение 7 суток, выдерживали 14 суток и охлаждали. После перетирания образцов повторный отжиг проводили 22 дня при температуре 605°C .

В предположении, что сурьма может замещать серу, были синтезированы твердые растворы $\text{CuCr}_2\text{S}_4-x\text{Sb}_x$ с $x = 0.05, 0.07, 0.10, 0.12, 0.15, 0.20, 0.30, 0.40, 0.50, 0.60$. Температура первого отжига составляла 600°C при выдержке 12 суток. Повторный отжиг после перетирания образцов проводился в течение 18 дней при температуре 630°C .

Контроль состава образцов осуществлялся методом рентгенофазного анализа (РФА). Дифрактограммы снимались на установке ДРОН-1 в $\text{CuK}\alpha$ -излучении с Ni-фильтром в интервале углов $2\theta = 10-100^\circ$ и сравнивались с эталонами в системе $\text{Cu}-\text{Cr}-\text{Sb}-\text{S}$ путем сопоставления интенсивности и межплоскостного расстояния с данными картотеки ASTM.

Из данных РФА для ряда $\text{Cu}_{1-x}\text{Sb}_x\text{Cr}_2\text{S}_4$ следует, что образцы вплоть до $x = 0.130$ однофазны и кристаллизуются в структуре шпинели. При концентрациях $x = 0.167$ и 0.231 появляется незначительное количество на уровне фона примеси Cu_2S . При большем количестве сурьмы $x > 0.25$ в образцах кроме шпинели присутствуют фазы Cu_2S , Sb и CuCrS_2 . Твердые растворы $\text{CuCr}_{2-x}\text{Sb}_x\text{S}_4$, согласно РФА, имеют

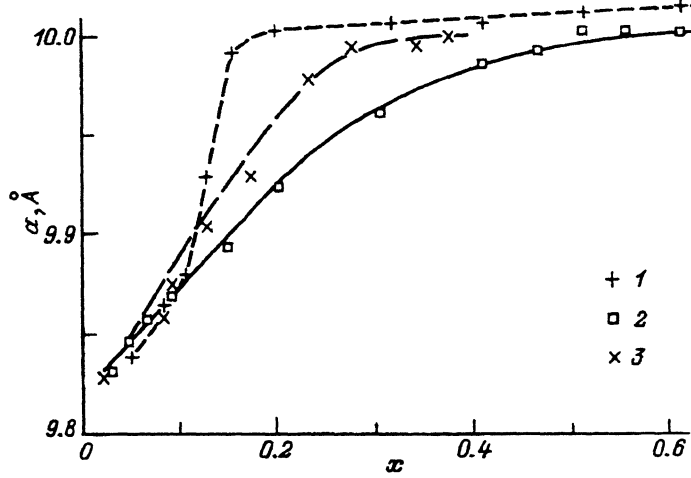


Рис. 1. Изменение параметров решетки a от состава для трех систем твердых растворов.

1 — $\text{CuCr}_2\text{S}_{4-x}\text{Sb}_x$, 2 — $\text{Cu}_{1-x}\text{Sb}_x\text{Cr}_2\text{S}_4$, 3 — $\text{CuCr}_{2-x}\text{Sb}_x\text{S}_4$.

структуроу шпинели и однофазны до концентрации $x = 0.50$. Косвенным подтверждением растворимости Sb в $\text{CuCr}_{2-x}\text{Sb}_x\text{S}_4$ является природный минерал флоренсовит $\text{CuCr}_{1.5}\text{Sb}_{0.5}\text{S}_4\text{-ZnCr}_2\text{S}_4$, в котором сурьма пятвалентна. При $x > 0.5$ кроме шпинели обнаружены фазы Sb и Cu_2S . Наименьшую растворимость в шпинели CuCr_2S_4 имеет сурьма при замещении серы. Непрерывный ряд твердых растворов при анионном замещении в ABX_4 можно получить, когда размеры ионов близки, например $\text{CuCr}_2\text{S}_{4-x}\text{Cl}_x$ ($0 \leq x \leq 1$). Поскольку $r(\text{Sb}^{3-}) > r(\text{S}^{2-})$, в системе $\text{CuCr}_2\text{S}_{4-x}\text{Sb}_x$ однофазными являются только образцы с малым значением x ($0 \leq x \leq 0.05$). При $x = 0.07$ и 0.10 в образцах присутствует сульфид меди Cu_2S в очень малом количестве. Для $x = 0.15$ кроме шпинельной фазы обнаружены Cu_2S и Sb. Образцы с $x \geq 0.20$ неоднофазны и содержат шпинельную фазу Sb и CuCr_2S_4 .

Для определения границы области существования твердых растворов были построены зависимости параметра решетки от состава для всех рядов. Параметр решетки для кубической сингонии уточняли методом наименьших квадратов на ЭВМ СМ-4. Расчет проводили для отражений hkl в области больших углов 2θ , что обеспечивало погрешность в определении параметра решетки в пределах 0.003–0.007 Å. Полученные зависимости параметра решетки от состава $a = f(x)$ приведены на рис. 1. Из этого видно, что для твердых растворов $\text{CuCr}_{2-x}\text{Sb}_x\text{S}_4$ в однофазной области параметр решетки растет, а в двухфазной остается постоянным. Следовательно, сурьма замещает хром в CuCr_2S_4 вплоть до концентрации $x = 0.50$. Граница существования твердых растворов $\text{CuCr}_2\text{S}_{4-x}\text{Sb}_x$ находится при $x > 0.05$. Поскольку даже в присутствии незначительного количества примеси параметр решетки шпинели резко возрастает, возможно, при подборе оптимальных условий синтеза могут быть получены полностью однофазные образцы вплоть до концентрации $x = 0.10\text{--}0.15$. Аналогичный характер возрастания параметра решетки наблюдается для $\text{Cu}_{1-x}\text{Sb}_x\text{Cr}_2\text{S}_4$, поэтому можно предположить, что замещение меди сурьмой возможно вплоть до $x = 0.20\text{--}0.25$.

2. Магнитные свойства

В работе изучалось влияние ионов сурьмы на магнитные свойства синтезированных твердых растворов. Температурные и полевые зависимости намагниченности снимались на вибрационном магнитометре в интервале температур 77–350 К и в магнитных полях $0 < H < 20$ кОе. Статическая восприимчивость измерялась с помощью магнитных весов Фарадея в области $77 \leq T \leq 600$ К. Температура Кюри T_c определялась по резкому изменению начальной восприимчивости в слабых магнитных полях. Такие измерения проводились как на вибрационном магнитометре, так и на магнитных весах. Значения T_c , полученные на двух установках, хорошо согласуются. Парамагнитная температура Кюри Θ определялась путем экстраполяции обратной восприимчивости до оси температур из области высоких температур. Магнитный момент насыщения $\mu_s = gS\mu_B$ оценивался по полевым зависимостям намагниченности, а эффективный магнитный момент $\mu_{eff} = g\sqrt{S(S+1)}\mu_B$ — по наклону зависимости $\chi^{-1}(T)$.

Сульфидная шпинель $CuCr_2S_4$ является ферромагнетиком с близкими значениями ферромагнитной и парамагнитной температур Кюри (390–420 К). В отличие от ферромагнитных шпинелей $CdCr_2X_4$ и $HgCr_2X_4$ в $CuCr_2S_4$ магнитный момент насыщения на молекулу $\mu_s = 4.58\mu_B$ при 4.2 К значительно ниже теоретической величины $\mu_s = 7\mu_B$ для валентного состояния $Cu^{2+}Cr_2^{3+}S_4^{2-}$. Для объяснения наблюдавшегося отклонения μ_s предложены разные модели (Гудинафа и Лотгеринга), однако причина низкого значения μ_s до конца не ясна [2]. Несмотря на большое число работ по магнитным свойствам $CuCr_2S_4$ и твердых растворов на его основе, практически отсутствуют данные

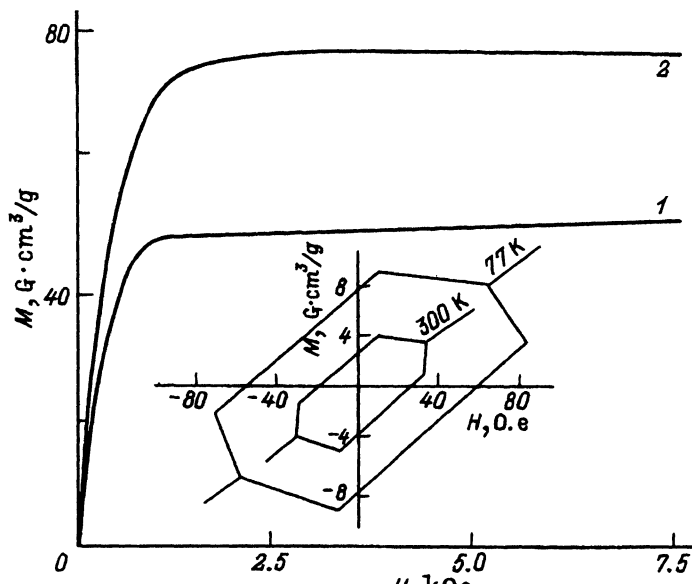


Рис. 2. Кривые намагничивания шпинели $CuCr_2S_4$ при температурах 77 (1) и 300 К (2).

На вставке — часть петель гистерезиса в области малых полей.

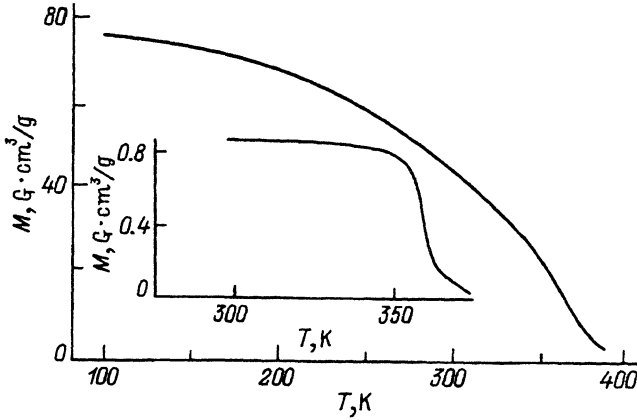


Рис. 3. Температурная зависимость намагниченности для CuCr_2S_4 при $H = 5 \text{ кОе}$.
На вставке — то же при $H = 10 \text{ Ое}$.

по петлям гистерезиса и кривым намагничивания в области $T > 4.2 \text{ К}$. Ряд авторов сообщает более низкие значения T_c и Θ , что может быть связано с отклонением состава образцов от стехиометрического. Чтобы выделить влияние собственных дефектов от примесных ионов Sb, мы исследовали магнитные свойства чистой шпинели CuCr_2S_4 , полученной таким же способом, как и твердые растворы.

На рис. 2 представлены кривые намагничивания $M(H)$ для CuCr_2S_4 при $T = 77$ и 300 К . Видно, что намагниченность достигает насыщения в полях $H \geq 2.5 \text{ кОе}$. Магнитный момент насыщения при 77 К $\mu_s = 4.07$, а при 300 К $\mu_s = 2.73 \mu_B$. В области больших полей ($H > 3 \text{ кОе}$) наклон зависимости $M(H)$ очень мал, что указывает на слабый параропесс. На вставке к рис. 2 показана часть петли гистерезиса $M(H)$ в малых полях при тех же температурах. Коэрцитивная сила $H_c = 57 \text{ Ое}$ при 77 К и $H_c = 24 \text{ Ое}$ при 300 К , а остаточная намагниченность $M_{\text{remn}} = 7.37 \text{ Г} \cdot \text{см}^3/\text{г}$ при 77 К и $M_{\text{remn}} = 3.24 \text{ Г} \cdot \text{см}^3/\text{г}$ при 300 К ; следовательно, шпинель CuCr_2S_4 можно отнести к магнитомягким материалам. Температурная зависимость намагниченности CuCr_2S_4 в поле $H = 5 \text{ кОе}$ приведена на рис. 3. На вставке представлена зависимость $M(T)$ в слабом поле $H = 7 \text{ Ое}$. Теория фазовых переходов предсказывает резкое уменьшение намагниченности в слабом магнитном поле вблизи T_c для однофазных и однородных образцов. Резкий переход в парамагнитное состояние вблизи $T_c = 367 \text{ К}$ свидетельствует о гомогенности образца.

Важными характеристиками магнитных материалов, связанными с обменными интегралами, являются T_c и Θ . Чувствительность магнитных весов намного выше, чем у вибрационного магнитометра, поэтому измерения χ в парамагнитной области проводились в основном на весах Фарадея. В работах Королевой и др. [3] парамагнитная температура Кюри $\theta = 335 \text{ К}$ ниже ферромагнитной температуры Кюри $T_c = 377 \text{ К}$, что не согласуется с теорией молекулярного поля. Аномальное расположение T_c и Θ авторы объяснили фазовым переходом ферромагнетизм–парамагнетизм первого рода из-за скачкообразного изменения объема в районе T_c . Температурные измерения восприимчивости в слабых и сильных полях позволяют одновременно получить значения T_c и Θ и уменьшить относительную ошибку в определении

Магнитные свойства CuCr_2S_4 и трех
систем твердых растворов на его основе

Соединение	x	T_c , К	Θ , К	C_{C-W}	μ_{eff} , μ_B	M , $\text{G} \cdot \text{cm}^3/\text{г}$
CuCr_2S_4	0	367	385	2.11	4.11	77
$\text{Cu}_{1-x}\text{Sb}_x\text{Cr}_2\text{S}_4$	0.02	341	360	2.23	4.22	—
	0.09	Переход размыт	325	1.88	3.88	55.5
	0.23	Переход размыт	100	2.27	4.26	25
	0.05	322	350	2.06	4.06	—
$\text{CuCr}_{2-x}\text{Sb}_x\text{S}_4$	0.1	265	325	2.26	4.25	60.1
	0.3	Переход размыт	225	1.67	3.65	37.5
	0.4	Переход размыт	125	1.62	3.60	—
$\text{CuCr}_2\text{S}_4-x\text{Sb}_x$	0.5	Переход размыт	-180	3.21	5.07	0.2
	0.05	276	304	2.12	4.12	—
	0.1	312	346	2.42	4.40	75

П р и м е ч а н и е. C_{C-W} — постоянная Кюри–Вейсса, μ_{eff} — эффективный магнитный момент на молекулу, M — намагниченность насыщения при $T = 77$ К.

этих величин. На рис. 4 представлены температурная зависимость обратной восприимчивости CuCr_2S_4 в поле $H = 9$ кОе и для сравнения зависимость $\chi(T)$ в слабом поле $H = 30$ Ое. Для нашего образца значения T_c и Θ довольно близки, что характерно для ферромагнетиков с малыми антиферромагнитными взаимодействиями, причем $T_c < \Theta$. Область сохранения ближнего порядка довольно мала, и уже при $T > 410$ К выполняется закон Кюри–Вейсса $\chi = C/(T - \Theta)$ с $\Theta = 384$ К и постоянной Кюри–Вейсса $C = 2.11$.

В таблице приведены основные характеристики CuCr_2S_4 и трех систем твердых растворов на его основе. CuCr_2S_4 в отличие от ртутной и кадмииевой шпинелей имеет два магнитных иона: Cr^{3+} ($S = 3/2$) и Cu^{2+} ($S = 1/2$). Полный магнитный момент молекулы в основном определяется спином ионов хрома, поэтому наиболее сильные изменения магнитных свойств при легировании немагнитной сурьмой можно ожидать в твердых растворах $\text{CuCr}_{2-x}\text{Sb}_x\text{S}_4$. В однофазных образцах $\text{CuCr}_{2-x}\text{Sb}_x\text{S}_4$ температура Кюри и намагниченность насыщения уменьшаются с увеличением концентрации Sb. Кривые намагничивания $M(H)$ при 77 К имеют нелинейный вид, подобный $M(H)$ для CuCr_2S_4 . Температурные зависимости намагниченности в слабых полях с увеличением x размываются, т. е. фазовый переход в парамагнитное состояние становится растянутым по температуре. На рис. 5 представлены температурные зависимости обратной восприимчивости для системы $\text{CuCr}_{2-x}\text{Sb}_x\text{S}_4$. При малых концентрациях ($x < 0.1$) выполняется закон Кюри–Вейсса. В области $0.1 \leq x \leq 0.4$ зависимость $\chi^{-1}(T)$ имеет вид гиперболы с положительным значением Θ , что характерно для коллинеарных феримагнетиков. Парамагнитная температура Кюри Θ и магнитная восприимчивость выше 300 К уменьшаются с ростом x . Наиболее резкое изменение магнитных свойств наблюдается для состава $\text{CuCr}_{1.5}\text{Sb}_{0.5}\text{S}_4$. Зависимость $\chi^{-1}(T)$ опять становится ли-

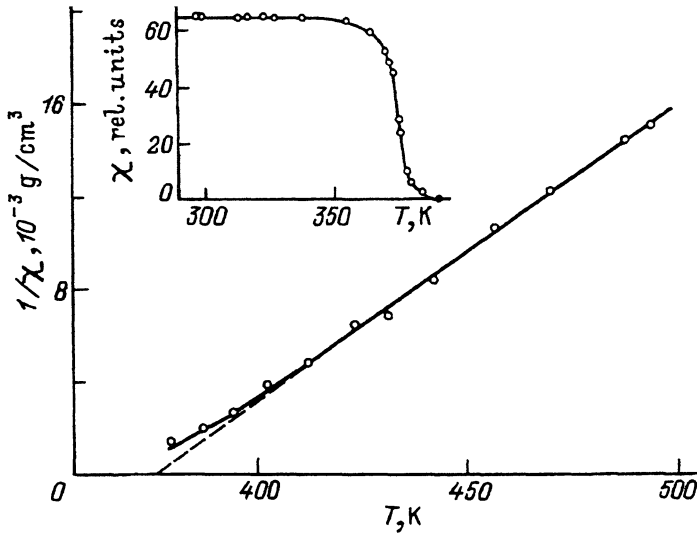


Рис. 4. Температурные зависимости обратной восприимчивости в поле $H = 9$ кОе и начальной восприимчивости при $H = 30$ Ое (на вставке) для CuCr_2S_4 .

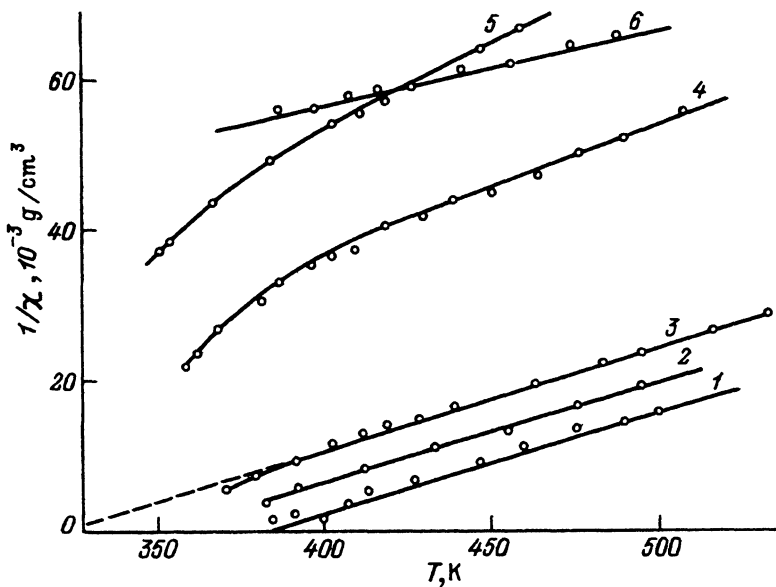


Рис. 5. Температурные зависимости обратной восприимчивости для твердых растворов $\text{CuCr}_{2-x}\text{Sb}_x\text{S}_4$.
 x : 1 — 0, 2 — 0.05, 3 — 0.1, 4 — 0.3, 5 — 0.4, 6 — 0.5.

нейной, но с отрицательным значением $\Theta = -180$ К, что указывает на антиферромагнетизм. Эффективный магнитный момент сильно возрастает для этого состава. Значения χ в области $T > 300$ К близки к соответствующим значениям χ для $\text{CuCr}_{1.6}\text{Sb}_{0.4}\text{S}_4$. Немонотонное изменение свойств твердых растворов при $x = 0.5$ может быть связано с изменением валентного состояния сурьмы. В халькогенидных шпинелях и других сложных сульфидах Sb обычно находится в трехвалентном состоянии, однако $\text{CuCr}_{1.5}\text{Sb}_{0.5}\text{S}_4$ содержит пятивалентную сурьму. Увеличение валентности сурьмы должно привести к уменьшению валентности хрома до Cr^{2+} ($S = 2$) и соответственно к повышению μ_{eff} . Наши результаты согласуются с данными работы [4], в которой $\text{CuCr}_{1.5}\text{Sb}_{0.5}\text{S}_4$ является антиферромагнетиком с температурой Нееля $T_N = 23.7$ К и асимптотической температурой Кюри $\theta = -156$ К. Небольшое различие в значениях Θ может быть связано как с несколько отличающимся составом образцов, так и с различной областью экстраполяции $\chi^{-1}(T)$. Намагниченность M при 4.2 К прямо пропорциональна величине H [4], а при 77 и 290 К наблюдается нелинейная зависимость, т. е. имеется спонтанный магнитный момент.

Замещение ионов меди сурьмой приводит к изменениям магнитных свойств, подобным изменениям при замещении хрома. Для $\text{Cu}_{0.98}\text{Sb}_{0.02}\text{Cr}_2\text{S}_4$ наблюдается резкий переход в ферромагнитное состояние. При увеличении x в $\text{Cu}_{1-x}\text{Sb}_x\text{Cr}_2\text{S}_4$ переход размывается и температура Кюри уменьшается. Полевые зависимости намагниченности в области $77 < T < 290$ К указывают на наличие спонтанного момента. Температурные зависимости обратной восприимчивости имеют вид гиперболы, кривизна которой с ростом x увеличивается (рис. 6). Отметим, что значения M_s и χ при одинаковых концентрациях Sb выше в системе $\text{CuCr}_{2-x}\text{Sb}_x\text{S}_4$ по сравнению с $\text{Cu}_{1-x}\text{Sb}_x\text{Cr}_2\text{S}_4$.

При анионном замещении число магнитоактивных ионов в $\text{CuCr}_2\text{S}_4-x\text{Sb}_x$ не должно изменяться. Нами были исследованы твердые растворы $\text{CuCr}_2\text{S}_{3.95}\text{Sb}_{0.05}$ и $\text{CuCr}_2\text{S}_{3.9}\text{Sb}_{0.1}$. В обоих образцах наблю-

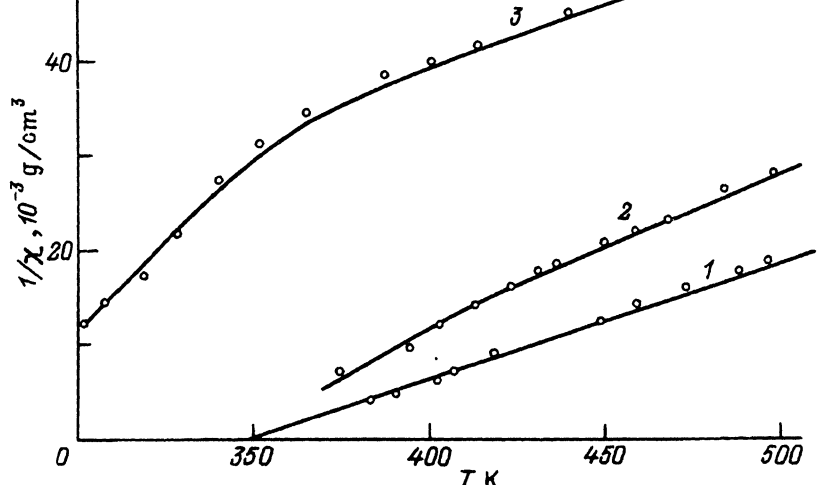


Рис. 6. Температурные зависимости обратной восприимчивости для системы $\text{Cu}_{1-x}\text{Sb}_x\text{Cr}_2\text{S}_4$.
x: 1 — 0.02, 2 — 0.09, 3 — 0.23.

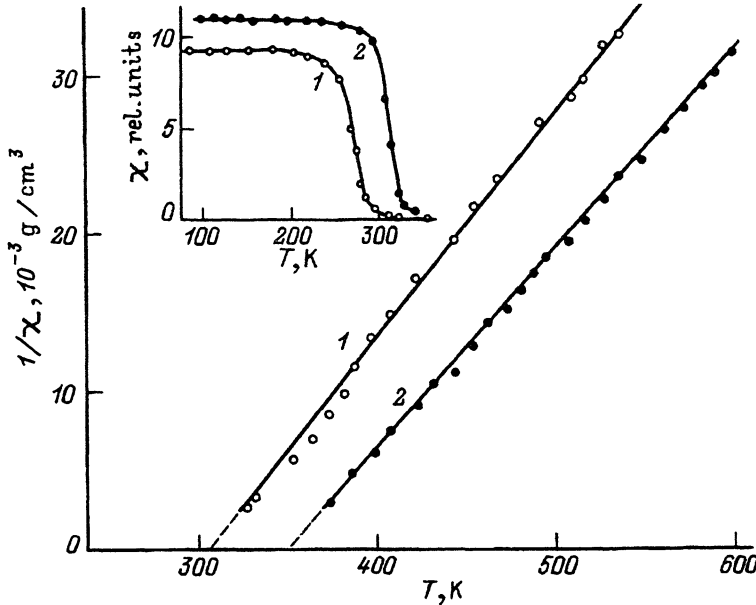


Рис. 7. Температурные зависимости обратной восприимчивости в поле $H = 9$ кОе и начальной восприимчивости в поле $H = 30$ Ое для твердых растворов $\text{CuCr}_2\text{S}_{4-x}\text{Sb}_x$ (на вставке.)
 x : 1 — 0.05, 2 — 0.1.

дается резкий переход вблизи T_c (рис. 7). Кривые намагничивания в области $T < 300$ К имеют типичный для ферромагнетиков нелинейный вид, а восприимчивость выше 300 К следует закону Кюри–Вейсса. В отличие от $\text{Cu}_{1-x}\text{Sb}_x\text{Cr}_2\text{S}_4$ и $\text{CuCr}_{2-x}\text{Sb}_x\text{S}_4$ поведение температур Кюри T_c и Θ в $\text{CuCr}_2\text{S}_{4-x}\text{Sb}_x$ немонотонно. Для $x = 0.05$ как T_c , так и Θ уменьшаются, но эффективный магнитный момент остается неизменным. При дальнейшем увеличении содержания Sb в $\text{CuCr}_2\text{S}_{4-x}\text{Sb}_x$ происходит рост T_c и Θ . В $\text{CuCr}_2\text{S}_{3.9}\text{Sb}_{0.1}$ значения T_c и Θ несколько ниже, чем в чистой шпинели CuCr_2S_4 , однако намагниченность насыщения $M = 75 \text{ G} \cdot \text{cm}^3/\text{g}$ при 77 К такая же, а $\mu_{\text{eff}} = 4.40 \mu_B$ даже выше. Аналогичное поведение T_c и Θ наблюдалось в системе $\text{CuCr}_2\text{S}_{4-x}\text{Se}_x$ [5], но минимум температур Кюри лежит при более высоком значении ($x = 1$).

3. Обсуждение

В полупроводниковых шпинелях AB_2X_4 магнитный порядок определяется конкуренцией ферромагнитного и антиферромагнитного сверхобменов через анионы. Магнитные свойства хорошо описываются в приближении двух обменных параметров: 90° ферромагнитного Cr–X–Cr сверхобмена с шестью ближайшими соседями и антиферромагнитного Cr–X–A–X–Cr сверхобмена с тридцатью следующими за ближайшими соседями [2]. Сильное увеличение температуры Кюри в медных шпинелях по сравнению с полупроводниковыми связано с дополнительным обменом Рудермана–Киттеля–Касуя–Иосида (РККИ) через свободные носители заряда. В случае реализации модели Лотгеринга,

описываемой формулой $\text{Cu}^+[\text{Cr}^{3+} \rightleftharpoons \text{Cr}^{4+}]S_4^{2-}$, магнитный момент имеют только ионы хрома, расположенные в октаузлах. Уменьшенный магнитный момент насыщения $\mu_s = 5.1\mu_B$ объясняется присутствием ионов Cr^{4+} ($S = 1$), которые быстро обмениваются электронами с Cr^{3+} ($S = 3/2$). Согласно данным ЯМР и нейтронографии [6], эта модель реализуется в области температур $T < 60\text{ K}$, а выше 60 K справедлива модель Гудинафа, в которой валентное состояние ионов описывается формулой $\text{Cu}^{2+}[\text{Cr}^{3+}]S_4^{2-}$. В модели Гудинафа присутствуют два типа магнитных ионов, расположенных как в окта-, так и в тетраэдрических подрешетках. Появляются дополнительные обменные взаимодействия типа $\text{Cr}^{3+}-\text{Cu}^{2+}$ и $\text{Cu}^{2+}-\text{Cu}^{2+}$. Суммарный магнитный момент $5\mu_B$ в модели Гудинафа обусловлен поляризацией t_{2g} -электронов меди в $1\mu_B$ из-за антиферромагнитного взаимодействия между подрешетками.

Рассмотрим влияние замещения сурьмой на магнитные свойства твердых растворов. При катионном легировании уменьшение T_c однаково независимо от типа замещаемого иона (Сг или Си) и его позиции. Более резкое уменьшение T_c наблюдается при анионном замещении. Уменьшение T_c частично может быть связано с увеличением параметра решетки, который влияет на величину обменных взаимодействий. Поскольку во всех трех системах в этой области x параметры решетки близки, можно предположить, что магнитное упорядочение в твердых растворах сильнее зависит от изменения обменных связей, в которых участвуют и немагнитные ионы, чем от концентрации магнитоактивных ионов. Влияние дефектов в анионной подрешетке на магнитные свойства обнаружено также в $\text{CuCr}_2\text{S}_{4-x}$ ($0 \leq x \leq 0.23$) [3]. Хотя T_c практически не зависит от числа вакансий по сере, значения Θ и μ_{eff} уменьшаются с ростом x . В $\text{CuCr}_2\text{S}_{3.95}\text{Sb}_{0.05}$ T_c и Θ поникаются, но эффективный магнитный момент остается неизменным. По-видимому, избыточный отрицательный заряд ионов Sb^{3-} идет на компенсацию присущих в исходном CuCr_2S_4 анионных вакансий. При этом число магнитоактивных ионов и их валентное состояние не меняются. Неожиданным является увеличение T_c , Θ и эффективного магнитного момента μ_{eff} для состава $\text{CuCr}_2\text{S}_{3.9}\text{Sb}_{0.1}$. Замещение ионов S^{2-} трехвалентными ионами Sb должно приводить к повышению валентности катионов. Увеличение μ_{eff} может быть связано с изменением числа магнитных ионов, если часть немагнитных ионов Cu^{1+} переходит в состояние Cu^{2+} . Другой причиной может служить увеличение магнитного момента при переходе части ионов из низкоспинового состояния Cr^{2+} в Cr^{3+} . В дефектных халькогенидных хромовых шпинелях наряду с ионами Cr^{3+} возможно одновременное существование ионов Cr^{2+} и Cr^{4+} [7]. Как отмечалось выше, немонотонное поведение T_c , Θ , μ_{eff} с минимумом вблизи $x = 1$ наблюдалось в $\text{CuCr}_2\text{S}_{4-x}\text{Se}_x$. В узкой области концентраций $1 \leq x \leq 1.5$ твердые растворы $\text{CuCr}_2\text{S}_{4-x}\text{Se}_x$ являются полупроводниками с $T_c > 300\text{ K}$. Полупроводниковый характер проводимости объясняется локализацией свободных электронов в антиферронах [8]. Уменьшение концентрации носителей заряда и, следовательно, ослабление РКИ-обмена приводят к снижению значений T_c и Θ . Уменьшение магнитного момента насыщения также может быть связано с антиферронами, но изменение μ_{eff} нельзя объяснить их присутствием. Эффективный момент μ_{eff} определяется из параметров

ной области, где антиферроны не существуют, и характеризует суммарный момент невзаимодействующих магнитных ионов. Уменьшение μ_{eff} указывает на уменьшение либо числа магнитных ионов, либо их магнитного момента. При дальнейшем увеличении x твердые растворы переходят в металлическое состояние и их T_c повышается. Аналогично можно объяснить наблюдаемые магнитные свойства системы $\text{CuCr}_2\text{S}_4-x\text{Sb}_x$. К сожалению, данные по электропроводности твердых растворов, легированных Sb, отсутствуют. Подобие магнитных свойств твердых растворов при замещении серы селеном или сурьмой позволяет надеяться, что $\text{CuCr}_2\text{S}_4-x\text{Sb}_x$ в области $x = 0.05-0.10$ являются ферромагнитными полупроводниками с T_c , близкой к комнатной температуре.

Катионное замещение сурьмой в CuCr_2S_4 позволило получить более широкие ряды твердых растворов, поэтому в них можно проследить динамику изменения магнитного порядка. В области малых концентраций Sb ($x < 0.1$) твердые растворы $\text{Cu}_{1-x}\text{Sb}_x\text{Cr}_2\text{S}_4$ и $\text{CuCr}_{2-x}\text{Sb}_x\text{S}_4$ остаются нормальными ферромагнетиками и при T_c испытывают резкий переход из парамагнитного состояния в ферромагнитное. Независимо от типа узла замещения (A- или B-подрешетка) температуры T_c и Θ линейно уменьшаются, как при обычном диамагнитном разбавлении. При дальнейшем увеличении x магнитные свойства показывают ряд особенностей. Переход в магнитоупорядоченное состояние становится размытым, а зависимость $\chi^{-1}(T)$ имеет выпуклую форму с положительной асимптотической температурой Θ , характерную для ферримагнетиков. Размытие перехода не связано с простым диамагнитным разбавлением, поскольку известно [9], что для смеси HgCr_2Se_4 с диамагнитной (Hg, In)-амальгамой даже при небольшом содержании шпинели сохраняется резкий переход при T_c . Магнитные свойства твердых растворов в области средних концентраций Sb ($0.1 < x < 0.4$) можно объяснить миктомагнетизмом. При диамагнитном разбавлении ослабевает ферромагнитный обмен между ближайшими соседями. Конкуренция ферромагнитного и антиферромагнитного взаимодействий приводит к образованию ферромагнитных кластеров, которые связаны между собой антиферромагнитно. Устанавливается сложная магнитная структура с замороженным магнитным моментом. Фиксированное в пространстве направление спина кластера может изменяться от точки к точке и быть случайным. Уменьшение концентрации магнитных ионов приводит к уменьшению размеров кластеров. Подтверждением наличия кластеров и уменьшения их размеров с ростом x в системе $\text{CuCr}_{2-x}\text{Sb}_x\text{S}_4$ могут служить спектры ЯГР [10]. При определенном значении x твердые растворы становятся антиферромагнитными, что и наблюдается для $\text{CuCr}_{1.5}\text{Sb}_{0.5}\text{S}_4$. В системе $\text{Cu}_{1-x}\text{Sb}_x\text{Cr}_2\text{S}_4$ антиферромагнитные соединения не обнаружены, поскольку растворимость сурьмы в ней значительно меньше по сравнению с $\text{CuCr}_{2-x}\text{Sb}_x\text{S}_4$.

В работах [4, 10, 11] магнитные свойства $\text{CuCr}_{2-x}\text{Sb}_x\text{S}_4$ объясняют состоянием спинового стекла. На наш взгляд, в твердых растворах $\text{CuCr}_{2-x}\text{Sb}_x\text{S}_4$ и $\text{Cu}_{1-x}\text{Sb}_x\text{Cr}_2\text{S}_4$ имеет место переход из парамагнитной фазы в состояние миктомагнетизма. Спиновые стекла, как и миктомагнетики, являются системами со случайным обменом [12]. Спиновое стекло обычно реализуется в металлических соединениях с РКИ-обменом при малой концентрации магнитных ионов, а микто-

магнетизм — при большой концентрации. Им присуще общее сходство некоторых свойств с антиферромагнетиками и ферромагнетиками. Так, для них характерно наличие максимума в температурных зависимостях статической и динамической восприимчивости при очень слабых полях, своеобразное антиферромагнетикам. При охлаждении в поле наблюдается остаточная намагниченность, типичная для ферромагнетиков. Особенностью миктомагнетизма и спиновых стекол является также большая разница значений намагниченности M в области низких температур при охлаждении в поле и без поля и быстрое уменьшение M при охлаждении в поле $H = 0$. Ниже температуры максимума χ в спиновых стеклах замораживаются отдельные спины в случайном направлении, а в миктомагнетиках магнитные моменты кластеров ориентируются случайно, но антиферромагнитно относительно друг друга. Теория пока не дает ответа на вопрос о том, существует ли реальный фазовый переход или имеет место постепенное замораживание спинов. Динамическая восприимчивость $\chi = \chi' + i\chi''$ в области $T = 4.2\text{--}300\text{ K}$ для $\text{CuCr}_{2-x}\text{Sb}_x\text{S}_4$ ($0 < x < 0.5$) была измерена в работе [11]. Для составов с малым содержанием Sb переход из парамагнитного состояния в ферромагнитное сопровождается резким уменьшением при T_c действительной составляющей динамической восприимчивости χ' , связанной с обратимыми процессами намагничивания, что согласуется с нашими данными по статической восприимчивости χ . В области средних концентраций $0.1 < x < 0.5$ зависимость $\chi'(T)$ имеет широкий максимум, который с ростом x смещается в область меньших температур подобно изменению $\Theta(x)$. Резкое уменьшение χ' в области низких температур также свидетельствует в пользу миктомагнетизма, поскольку измерения проводились в полях, близких к $H = 0$. Переход в состояние миктомагнетизма в этих твердых растворах, по-видимому, существует реально, на что указывает максимум мнимой составляющей динамической восприимчивости χ'' , характерный для фазовых переходов второго рода и определяющий потери при перемагничивании. Размытие статической восприимчивости в области перехода для $\text{Cu}_{1-x}\text{Sb}_x\text{Cr}_2\text{S}_4$ и $\text{CuCr}_{2-x}\text{Sb}_x\text{S}_4$ может быть связано с неоднородным состоянием соединений из-за образования кластеров [8].

Таким образом, легирование сульфидной шпинели CuCr_2S_4 ионами Sb не приводит к простому диамагнитному разбавлению, а сложным образом влияет на магнитную структуру твердых растворов. При замещении в анионной подрешетке магнитный порядок сохраняется. Магнитные свойства $\text{CuCr}_2\text{S}_{4-x}\text{Sb}_x$ в области $x = 0.05\text{--}0.1$ объясняются образованием антиферронов. При катионном замещении наблюдаются сильные изменения магнитного упорядочения. В области малых концентраций x твердые растворы $\text{Cu}_{1-x}\text{Sb}_x\text{Cr}_2\text{S}_4$ и $\text{CuCr}_{2-x}\text{Sb}_x\text{S}_4$ остаются ферромагнетиками, хотя их T_c понижается. В области средних концентраций $0.1 \leq x \leq 0.4$ они становятся магнитно-неоднородными за счет образования кластеров и переходят в миктомагнитное состояние. При больших x преобладает антиферромагнитное взаимодействие между кластерами малых размеров, поэтому $\text{CuCr}_{1.5}\text{Sb}_{0.5}\text{S}_4$ становится антиферромагнетиком. Исследование электрических свойств трех систем твердых растворов позволит выявить полупроводниковые составы с высокими T_c . Наиболее перспективной в этом отношении является система $\text{CuCr}_2\text{S}_{4-x}\text{Sb}_x$.

Список литературы

- [1] Самохвалов А.А., Арбузова Т.И., Бабушкин В.С., Гижевский Б.А., Лошкова Н.Н., Симонова М.И., Чеботаев Н.М. ФТТ **22**, 1, 250 (1980).
- [2] Метфесель З., Маттис Д. Магнитные полупроводники. М. (1972). 405 с.
- [3] Белов К.П., Третьяков Ю.Д., Гордеев И.В., Королева Л.И., Кеслер Я.А. Магнитные полупроводники-халькогенидные шпинели. М. (1981). 279 с.
- [4] Кеслер Я.А., Королева Л.И., Михеев М.Г., Одинцов А.Г., Филимонов Д.С., Сайфуллаева Д.А. Тез. докл. 13 Всесоюз. школы-семинара «Новые магнитные материалы микроэлектроники». Астрахань (1992). Ч. 2. С. 137–138.
- [5] Королева Л.И., Шалимова М.А. ФТТ **21**, 2, 449 (1979).
- [6] Ковтун Н.М., Найден Е.П., Прокопенко В.К., Шемяков А.А. ЖЭТФ **77**, 1, 404 (1979).
- [7] Эмириян Л.М., Гуревич А.Г., Шукюров А.С., Бержанский В.Н. ФТТ **23**, 10, 2916 (1981).
- [8] Нагаев Э.Л. Физика магнитных полупроводников. М. (1979). 347 с.
- [9] Чеботаев Н.М., Арбузова Т.И., Самохвалов А.А. ФТТ **32**, 8, 2460 (1990).
- [10] Губайдулин Р.К., Сафин Ш.Р., Садыков Р.А. и др. Тез. докл. Всесоюз. конф. «Прикладная мессбауэровская спектроскопия». Казань (1990). С. 20.
- [11] Марук С.В., Садыков Р.А., Аминов Т.Г., Америкова Е.В., Руднев А.В. Тр. ИОФ РАН **44**, 173 (1993).
- [12] Уайт Р. Квантовая теория магнетизма. М. (1988). 303 с.